

(35) 生体システムのコンパートメントモデル化における最適制御理論の応用

AN APPLICATION OF THE OPTIMAL CONTROL THEORY TO COMPARTMENT MODEL OF BIOLOGICAL SYSTEM.

平山博史、佐川美穂、和田恵子、福山裕三

H, Hirayama., M, Sagawa., K, Wada., Y, Fukuyama.

[ABSTRACT]

To investigate the physiological regulation of biological system, an optimal control strategy for compartment model of biological system was proposed. The performance function minimized included the first and second order differential of concentration. The time dependent nature of coefficient influenced considerably on the transient change of concentration. The optimal input attained the peak value at the initiation of reaction. Present theory is useful to practical clinical aspect.

key word : Compartment model. Optimal control. Biological system, Anesthetic agent, Insulin

[はじめに]

生体内におけるある特定の物質の拡散状況を予測することは麻醉、薬剤、放射性同位元素などの投与におけるそれらの動態を推定するのに有益であるばかりか、内分泌、インスリン、など治療目的で使用される物質の体内分布予測にも多くの情報を与える。この目的から生体のコンパートメントモデル化の研究がなされてきた。これらにより生体は3あるいは4個のコンパートメントで表はされることが可能である。しかしながらコンパートメントの同定が可能であってもそれらがどのように統合されて有機的に目的的活動を営んでいるのかは単なるコンパートメント同定だけでは解析できない。生体は常に一定の安定した状態を自動的に維持していることを考慮するとそこにはなんらかの制御機構が内在していると解釈できる。すなはち血圧でも体温でも常に一定値、または一定の範囲内にのみ制御されていることは偏位、変化率を極力最小にする制御が存在すると考えられる。このような最適支配則の存在の可能性は最近、循環器(1)、呼吸器系(2)で示してきた。そこで本研究ではこのような支配則をコンパートメント化した生体に適用した場合どのような物質濃度変化が生じるのか、またどのような入力制御方策が適切なのかを理論的に解析することを目的とした。

[数学的方法]

本研究では図1に示すように生体を3つのコンパートメントで表わされるとする。第一コンパートメントは制御入力を受ける分画で血漿、あるいは肺など直接外界と接触する臓器、器官である。第二、三コンパートメントは第一コンパートメントから物質の拡散を受ける分画であり逆にまた第一コンパートメントにも逆方向拡散が存在すると仮定する。第三と第二コンパート

Fig 1

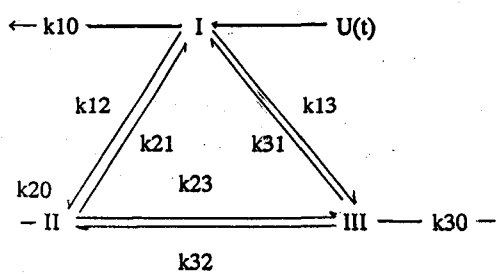
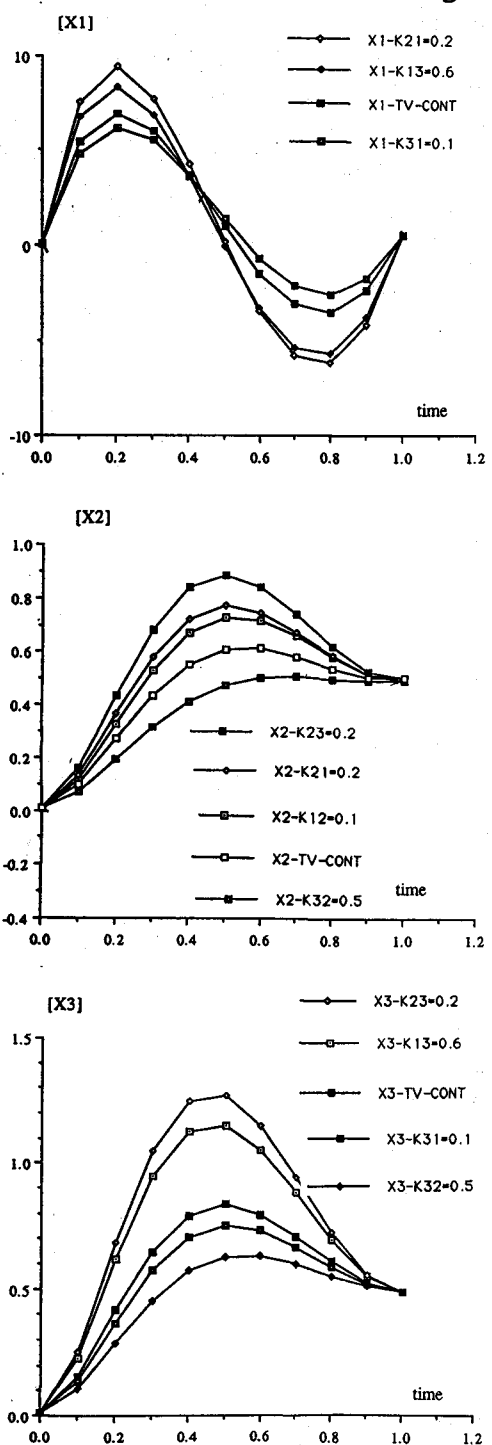


Fig 2



メント間には機能的拡散が存在するとする。図1に示した物質の相互間の拡散はそれぞれ係数 k_{nm} で表わされる。 k_{n0} は各分画において物質が自己分解する係数である。 $U(t)$ は最適制御入力である。拡散係数の大きい分画は血液灌流が良好であり血漿との交換比率が大きい、肝臓、脳、腎臓、腸に相応する。拡散係数が小さい分画は血液灌流が低い皮膚、筋肉、に相当する。すなはち本研究における拡散係数は生体のコンパートメント化に関与しているため単に物理的拡散のみを意味するのではなく各臓器への血流灌流状況も含めている。これらにおいて各分画内の瞬時の物質濃度を $X_n(t)$ とすると、すべて一次拡散で近似できるとすると系の状態方程式は

$$\begin{aligned} X1' &= - (k_{12} + k_{13} + k_{10}) X1 + k_{21} X2 \\ &\quad + k_{31} X3 \\ X2' &= - (k_{21} + k_{23} + k_{20}) X2 + k_{12} X1 \\ &\quad + k_{32} X3 \\ X3' &= - (k_{31} + k_{32} + k_{30}) X3 + k_{13} X1 \\ &\quad + k_{23} X2 \end{aligned}$$

と表わすことができる。制御則を表わす評価関数は次の形式とする。

$$J = \int_0^{t_e} [\alpha (X1')^2 + \beta (X2')^2 + \gamma (X3')^2 \\ + \delta U(t)^2 + \alpha 2(X1'')^2 + \beta 2(X2'')^2 \\ + \gamma 2(X3'')^2 + \varepsilon 1(X1 - A)^2 \\ + \varepsilon 2(X2 - B)^2 + \varepsilon 3(X3 - C)^2] dt$$

ここで $\alpha, \beta, \gamma, \delta, \varepsilon$ は重値係数である。この評価関数の意味するところは各分画における物質濃度の標的値、A、B、Cからの偏位を最小にし、時間的変化率すなはち一次微分、および加速的変化率すなはち2次微分を最小化することである。生体の調節機構がこれらの物理量を確実に制御しているかあるいはこれら微分量に対する制御は確率的な任意に決定されたことであり本来制御とは無関係である可能性もある。しかしそのようなことが実験的にもまったく判明していない状況では可能性のすべてを任意に羅列してそれらの相対的重要性を重値係数で表わすより現在解析の有力な方法はない。反応拡散は有限な時間で終熄するとしてその時刻を t_e とした。

table1.

Knm	標準値	変化値
k12	0.3	0.5
k13	0.5	0.6
k32	0.4	0.5
k31	0.01	0.1
k21	0.03	0.2
k23	0.04	0.2
	初期値	最終値
X1	0.1	0.5
X2	0.01	0.5
X3	0.01	0.5

[結果]

1. 係数の大きさ Knm の変化

図2に各係数が変化した場合の物質濃度変化を示した。濃度の標準値からの変化は表1に示した。この場合逆方向拡散係数も増加させた場合も解析した。いずれの分画も濃度変化は係数の変化と殆ど平行であり第一分画の相対的变化が最も大きく第二三分画における変化はそれに比べて小さかった。第二第三分画では係数が変化すると単調増加から最大値が出現する反応形式となった。

2. 反応拡散係数の時間的特性の変化

図3に係数が指数関数的に減少する場合
 $knm = Knm \exp(-wnm t)$; (X1-TV-CONT),
指數関数的に増加する場合 $knm = Knm \exp(+ wnm t)$; (X1-P-CONT), および一定の場合 $knm = Knm$ (X1-cont) の3通りを解析した。Knmの値は標準値とした。係数が指數関数的に減少する場合いずれの分画においても濃度変化が急激であった。すなわちX1では最大値が著しく増加すると同時に負の値も大きくなり濃度が激しく変化した。X2、X3では濃度の増加率が大きくなり明らかな最大値が出現している。逆に係数が指數関数的に減少する場合前者と対照的な経過を示した。X1では濃度は漸増し最大値は低下し反応の後半にその最大値が出現した。すなはち時間的変化は全経過を通じて減少した。X2、X3でも経過中の前半では徐々にしか増加せず後半に緩やかな増加を認めた。

図4は係数が時間的に変化しさらに係数 $k12$ が0.5まで増加した場合の各分画

Fig 3

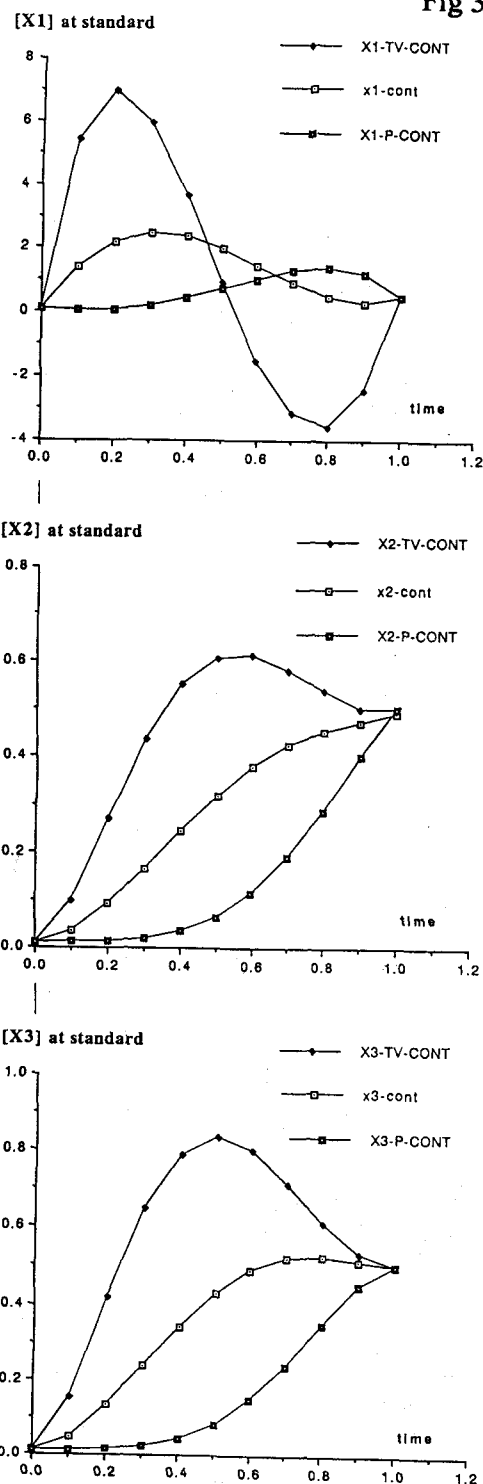


Fig 4

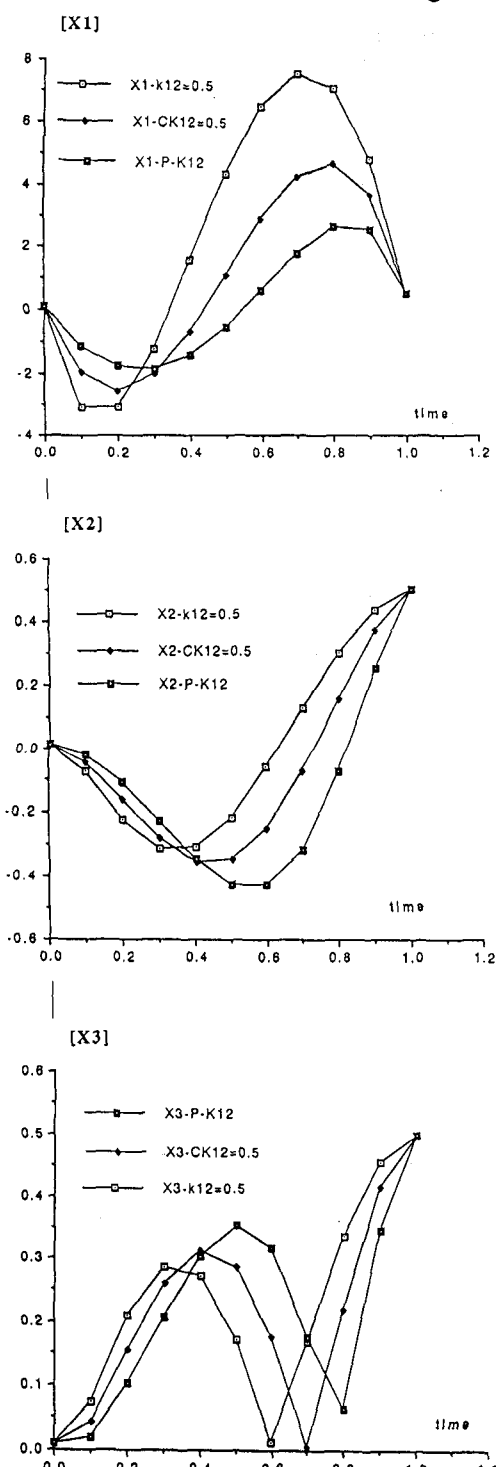
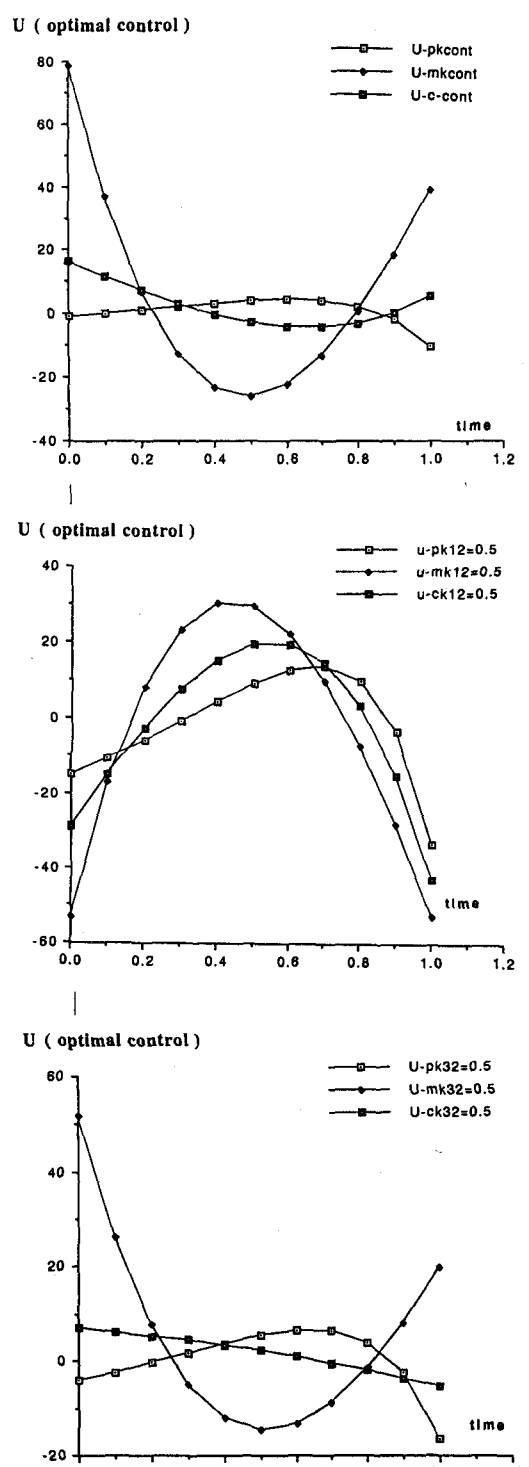


Fig 5



における濃度の変化を示した。Xn-k12は指數関数的減少、Xn-ck12は一定、Xn -P-k12は指數関数的増加を示す。この場合も係数が指數的減少する場合いずれの分画で濃度の変化率は著しく大きく、係数が指數関数的に増加する場合には濃度の変化率は小さくなつた。

3. 制御入力の変化

図5に評価関数を最小にする最適制御入力の変動を示した。U-pkcontは係数が指數関数的に増加、U-mkcontは係数が指數関数的減少、U-c-contは係数が一定の場合である。図4bでは係数 k12 が 0.5まで増加した場合 図4cでは係数 k32が 0.5まで増加した場合の最適制御の時間経過を示す。係数が指數関数的減少する場合、反応の最初ですでに最大値を示しておりそれから漸減し最大値が著しく増加し反応の途中で最小値を示しその後および増加した。係数が指數関数的に増加する場合、むしろ反応の開始から徐々に増加し最大値は低下し後半に出現した。係数k12が0.5まで増加した場合、逆に制御入力は指數関数的増加減少に関係なく放物線状を示した。

[考察]

生体が最適状態で常に制御されていることは直感的には理解されやすいがそれを理論的にまた実験的に立証することはきわめて困難である。このような場合、逆問題、あるいは同定問題としてその特性を予め最適化問題とみなして仮説的を解析して行くことは生体の機能分析にとっては有効な手段である。評価関数は本来、物理的意義の明確な変数を含めるべきであるが、生体においてはどのような変数が最適化されるように制御されているかは最初から不明であるから、可能な限り、任意の変数をそれに含めて、実験結果とのsimulation でどの変数が最も大きく影響しているかを逆問題的解析して行く意外方法が存在しないと考えられる。本研究では麻酔、放射性同位元素、ホルモン、薬剤などが生体内に分布する場合の最適制御方策およびその濃度の最適時間的变化をより一般的見地から解析できるように汎用最適化システムとして解析した。

旧来、これらの物質は最初徐々に增量してゆくことが基本的投与方法であり、本研究で得られた結果とまったく異なっていた。しかしこのような投与法は生体における副作用を警戒したための投与法であり、制御の観点からの論理的投与法ではなかった。最近、刺激性の極めて少ない、麻酔剤が開発されてからは、導入段階からいきなり最大値を投与し漸減して行く方法がより優れている報告がされており(3)、本研究のU(t)の挙動と極めて一致している。本研究は拡散係数が判明すればただちに各分画の最適濃度計算および最適投与方式が計算できるため、実践臨床に有用であり、また重値係数をsimulation により決定することでその分画の機能特性をも評価できる。

[結語]

生体に対してコンパートメントモデルを適用しさらにそれに対して最適制御理論を応用することで麻酔剤、放射性同位元素、ホルモン、薬剤などの生体ない最適分布が予測できる。またこれらの物質の最適投与方策も知ることができ、臨床的に極めて有用な方法と考えられる。

[補遺]

本論文における数学的方法は一般的なより多くのコンパートメントの最適制御にも適用することができる。また2種類以上の制御入力が同一分画に加わるばあいも生体にとっては存在しうる。以下に述べる数学的理論展開は多コンパートメント、多制御入力の場合の最適制御に関するものである。

数学的理論展開

各コンパートメントにおける物質の濃度をX1,X2,X3,X4 それらに対する最適化されるべき制御入力をu1, u2, u3, u4、それらの関数形を F1 F2 F3 F4 とすると各 コンパートメントにおける状態方程式は

$$x1'(t) = a1 x1 + a2 x2 + a3 x3 + a4 x4 + F1 (= b1 u1 + b2 u2 + b3 u3 + b4 u4) \dots (1)$$

$$x2'(t) = a5 x1 + a6 x2 + a7 x3 + a8 x4 + F2 (= b5 u1 + b6 u2 + b7 u3 + b8 u4) \dots (2)$$

$$x3'(t) = a9 x1 + a10 x2 + a11 x3 + a12 x4 + F3 (= b9 u1 + b10 u2 + b11 u3 + b12 u4) \dots (3)$$

$$x4'(t) = a13 x1 + a14 x2 + a15 x3 + a16 x4 + F4 (= b13 u1 + b14 u2 + b15 u3 + b16 u4) \dots (4)$$

となる。a1-a16 は拡散係数の関数、b1-b16は制御入力の相対的比率を表わす。ここで評価関数を次の形式と定める。

$$\begin{aligned} J = & \int_0^{t_e} [\alpha (\frac{dx1(t)}{dt})^2 + \beta (\frac{dx2(t)}{dt})^2 + \gamma (\frac{dx3(t)}{dt})^2 + \delta (\frac{dx4(t)}{dt})^2 \\ & + \alpha 1 (u1(t))^2 + \beta 1 u2(t)^2 + \gamma 1 u3(t)^2 + \delta 1 u4(t)^2] dt \dots (5) \end{aligned}$$

ここで $\alpha \beta \gamma \delta$ は重値係数でありそれらが乗せられている物理量の最小化制御の評価関数中のほかの物理量との相対的比率を示す。制御は無限時間ではなく $[0, t_e]$ で行うとする。.(1),(2),(3),(4) を(5)に代入する。たとえば X1では

$$\begin{aligned} (\frac{dx1(t)}{dt})^2 &= (a1 x1 + a2 x2 + a3 x3 + a4 x4 + b1 u1 + b2 u2 + b3 u3 + b4 u4)^2 \\ &= G1 + 2(G2 + \dots + G10) \end{aligned}$$

ここで係数は

$$G1 = a1^2 x1^2 + a2^2 x2^2 + a3^2 x3^2 + a4^2 x4^2 + b1 u1^2 + b2 u2^2 + b3 u3^2 + b4 u4^2$$

$$G2 = a1 a2 x1 x2 + a1 a3 x1 x3 + a1 a4 x1 x4, \quad G3 = a2 a3 x2 x3 + a2 a4 x2 x4$$

$$G4 = a3 a4 x3 x4, \quad G5 = x1 (a1 b1 u1 + a1 b2 u2 + a1 b3 u3 + a1 b4 u4)$$

$$G6 = x2 (a2 b1 u1 + a2 b2 u2 + a2 b3 u3 + a2 b4 u4)$$

$$G7 = x3 (a3 b1 u1 + a3 b2 u2 + a3 b3 u3 + a3 b4 u4)$$

$$G8 = x4 (a4 b1 u1 + a4 b2 u2 + a4 b3 u3 + a4 b4 u4)$$

$$G9 = b1 b2 u1 u2 + b1 b3 u1 u3 + b1 b4 u1 u4, \quad G10 = b2 b3 u2 u3 + b2 b4 u2 u4 + b3 b4 u3 u4$$

同類項を整理して Hamiltonian 関数を作ると

$$H [x1, x2, x3, x4, p1, p2, p3, p4, u1, u2, u3, u4] = h1 + h2 + h3 + h4 + h5(x1, un) + h6(x2, un) + h7(x3, un) + h8(x4, un) + J1(p1, xn, un) + J2(p2, xn, un) + J3(p3, xn, un) + J4(p4, xn, un) \dots (6)$$

ここで係数は

$$h1 = C1 x1 x1 + C2 x2 x2 + C3 x3 x3 + C4 x4 x4, \quad h2 = C5 u1^2 + C6 u2^2 + C7 u3^2 + C8 u4^2$$

$$h3 = C9 x1 x2 + C10 x1 x3 + C11 x1 x4 + C12 x2 x3 + C13 x2 x4 + C14 x3 x4$$

$$h4 = C15 u1 u2 + C16 u1 u3 + C17 u1 u4 + C18 u2 u3 + C19 u2 u4 + C20 u3 u4$$

$$h5 = C21 x1 u1 + C22 x1 u2 + C23 x1 u3 + C24 x1 u4$$

$$h6 = C25 x2 u1 + C26 x2 u2 + C27 x2 u3 + C28 x2 u4$$

$$h7 = C29 x3 u1 + C30 x3 u2 + C31 x3 u3 + C32 x3 u4$$

$$h8 = C33 x4 u1 + C34 x4 u2 + C35 x4 u3 + C36 x4 u4$$

補助状態変数 p1 to p4に関する係数は

$$\begin{aligned}
J1 &= p1(a1 x1 + a2 x2 + a3 x3 + a4 x4 + b1 u1 + b2 u2 + b3 u3 + b4 u4) \\
J2 &= p2(a5 x1 + a6 x2 + a7 x3 + a8 x4 + b5 u1 + b6 u2 + b7 u3 + b8 u4) \\
J3 &= p3(a9 x1 + a10 x2 + a11 x3 + a12 x4 + b9 u1 + b10 u2 + b11 u3 + b12 u4) \\
J4 &= p4(a13 x1 + a14 x2 + a15 x3 + a16 x4 + b13 u1 + b14 u2 + b15 u3 + b16 u4)
\end{aligned}$$

と表わされる。最適制御はHを未知の最適制御量
u_n(t)で微分して得られる。たとえばu₁(t)に関しては

$$\begin{aligned}
dH/du_1 &= 2C5 u_1 + C15 u_2 + C16 u_3 + C17 u_4 + C21 x_1 + C25 x_2 + C29 x_3 + C33 x_4 \\
&\quad + p1 b1 + p2 b5 + p3 b9 + p4 b13 = 0 \quad \dots(7)
\end{aligned}$$

同様の演算によってu₂ u₃ and u₄に関してそれぞれu₁(t)-u₄(t), p₁(t)-p₄(t), x₁(t)-x₄(t) の線形関数として

$$\begin{aligned}
K1 u_1 + K2 u_2 + K3 u_3 + K4 u_4 &= L1(x1, x2, x3, x4, p1, p2, p3, p4) \\
K5 u_1 + K6 u_2 + K7 u_3 + K8 u_4 &= L2(x1, x2, x3, x4, p1, p2, p3, p4) \\
K9 u_1 + K10 u_2 + K11 u_3 + K12 u_4 &= L3(x1, x2, x3, x4, p1, p2, p3, p4) \\
K13 u_1 + K14 u_2 + K15 u_3 + K16 u_4 &= L4(x1, x2, x3, x4, p1, p2, p3, p4)
\end{aligned}$$

と表わされる。L1 to L4は x₁-x₄, p₁-p₄ の関数である。これらではu₁(t)-u₄(t)が未知数であるからこれらの代数方程式として解析的に解いて、

$$\begin{aligned}
u1(t) &= d1 x1 + d2 x2 + d3 x3 + d4 x4 + d5 p1 + d6 p2 + d7 p3 + d8 p4 \\
u2(t) &= d9 x1 + d10 x2 + d11 x3 + d12 x4 + d13 p1 + d14 p2 + d15 p3 + d16 p4 \\
u3(t) &= d17 x1 + d18 x2 + d19 x3 + d20 x4 + d21 p1 + d22 p2 + d23 p3 + d24 p4 \\
u4(t) &= d25 x1 + d26 x2 + d27 x3 + d28 x4 + d29 p1 + d30 p2 + d31 p3 + d32 p4
\end{aligned}$$

したがってこれらの最適制御関数がもとまつたため状態方程式を最適化するため u₁, u₂, u₃, u₄を(1)(2)(3)(4)に代入すると

$$\begin{aligned}
x1'(t) &= a1 x1 + a2 x2 + a3 x3 + a4 x4 \\
&\quad + b1(d1 x1 + d2 x2 + d3 x3 + d4 x4 + d5 p1 + d6 p2 + d7 p3 + d8 p4) \\
&\quad + b2(d9 x1 + d10 x2 + d11 x3 + d12 x4 + d13 p1 + d14 p2 + d15 p3 + d16 p4) \\
&\quad + b3(d17 x1 + d18 x2 + d19 x3 + d20 x4 + d21 p1 + d22 p2 + d23 p3 + d24 p4) \\
&\quad + b4(d25 x1 + d26 x2 + d27 x3 + d28 x4 + d29 p1 + d30 p2 + d31 p3 + d32 p4)
\end{aligned}$$

x₁から p₄に関して整理すると

$$x1(t)' = m1 x1 + m2 x2 + m3 x3 + m4 x4 + L1 p1 + L2 p2 + L3 p3 + L4 p4$$

同様にして

$$\begin{aligned}
x2'(t) &= a5 x1 + a6 x2 + a7 x3 + a8 x4 \\
&\quad + b5(d1 x1 + d2 x2 + d3 x3 + d4 x4 + d5 p1 + d6 p2 + d7 p3 + d8 p4) \\
&\quad + b6(d9 x1 + d10 x2 + d11 x3 + d12 x4 + d13 p1 + d14 p2 + d15 p3 + d16 p4) \\
&\quad + b7(d17 x1 + d18 x2 + d19 x3 + d20 x4 + d21 p1 + d22 p2 + d23 p3 + d24 p4) \\
&\quad + b8(d25 x1 + d26 x2 + d27 x3 + d28 x4 + d29 p1 + d30 p2 + d31 p3 + d32 p4)
\end{aligned}$$

整理して

$$x2(t)' = m5 x1 + m6 x2 + m7 x3 + m8 x4 + L5 p1 + L6 p2 + L7 p3 + L8 p4$$

$x_3(t)$ に関する式

$$\begin{aligned}x_3'(t) = & a9 x_1 + a10 x_2 + a11 x_3 + a12 x_4 \\& + b9 (d1 x_1 + d2 x_2 + d3 x_3 + d4 x_4 + d5 p_1 + d6 p_2 + d7 p_3 + d8 p_4) \\& + b10 (d9 x_1 + d10 x_2 + d11 x_3 + d12 x_4 + d13 p_1 + d14 p_2 + d15 p_3 + d16 p_4) \\& + b11 (d17 x_1 + d18 x_2 + d19 x_3 + d20 x_4 + d21 p_1 + d22 p_2 + d23 p_3 + d24 p_4) \\& + b12 (d25 x_1 + d26 x_2 + d27 x_3 + d28 x_4 + d29 p_1 + d30 p_2 + d31 p_3 + d32 p_4)\end{aligned}$$

整理して

$$x_3'(t) = m9 x_1 + m10 x_2 + m11 x_3 + m12 x_4 + L9 p_1 + L10 p_2 + L11 p_3 + L12 p_4$$

補助状態変数に関する微分方程式はHamiltonianを対応する状態変数で微分して

$$\frac{dp_n(t)}{dt} = -\frac{dH}{dx_n(t)}$$

たとえば $p_1(t)$ と $x_1(t)$ に関しては

$$\begin{aligned}p_1'(t) = & - (2C1 x_1 + C9 x_2 + C10 x_3 + C11 x_4 + C21 u_1 + C22 u_2 + C23 u_3 + C24 u_4 \\& + a1 p_1 + a5 p_2 + a9 p_3 + a13 p_4)\end{aligned}$$

同様に

$$\begin{aligned}p_2'(t) = & - (2C2 x_2 + C9 x_1 + C12 x_3 + C13 x_4 + C25 u_1 + C26 u_2 + C27 u_3 + C28 u_4 \\& + a2 p_1 + a6 p_2 + a10 p_3 + a14 p_4)\end{aligned}$$

$$\begin{aligned}p_3'(t) = & - (2C3 x_3 + C10 x_1 + C12 x_2 + C14 x + C29 u_1 + C30 u_2 + C31 u_3 + C32 u_4 \\& + a3 p_1 + a7 p_2 + a11 p_3 + a15 p_4)\end{aligned}$$

$$\begin{aligned}p_4'(t) = & - (2C4 x_4 + C11 x_1 + C13 x_2 + C14 x_3 + C33 u_1 + C34 u_2 + C35 u_3 + C36 u_4 \\& + a4 p_1 + a8 p_2 + a12 p_3 + a16 p_4)\end{aligned}$$

これらにおいて最適制御入力はすでに得られているから $u_1 - u_4$ を代入して

$$\begin{aligned}p_1'(t) = & - (2C1 x_1 + C9 x_2 + C10 x_3 + C11 x_4 + C21 u_1 + C22 u_2 + C23 u_3 + C24 u_4 \\& + a1 p_1 + a5 p_2 + a9 p_3 + a13 p_4) \\= & - (2C1 x_1 + C9 x_2 + C10 x_3 + C11 x_4 \\& + C21 (d1 x_1 + d2 x_2 + d3 x_3 + d4 x_4 + d5 p_1 + d6 p_2 + d7 p_3 + d8 p_4) \\& + C22 (d9 x_1 + d10 x_2 + d11 x_3 + d12 x_4 + d13 p_1 + d14 p_2 + d15 p_3 + d16 p_4) \\& + C23 (d17 x_1 + d18 x_2 + d19 x_3 + d20 x_4 + d21 p_1 + d22 p_2 + d23 p_3 + d24 p_4) \\& + C24 (d25 x_1 + d26 x_2 + d27 x_3 + d28 x_4 + d29 p_1 + d30 p_2 + d31 p_3 + d32 p_4))\end{aligned}$$

同様にして $p_2(t)', p_3(t)', p_4(t)'$ および $p_4(t)'$ が得られる。

[参考文献]

1. 平山博史、福山裕三；心臓血管系の最適制御機構に関する理論的研究。計測自動制御学会論文集。vol29。No8。p 896-955、1993。
2. H, Hirayama., T, Nishimura., k, Ono. An application of the optimal control theory to analysis of inspiratory phase of respiratory system. IECON, '91. p 2337-2342. 1991.
3. Yurino, K., Ogawa, S. : A new administration method for IsoFluorane new anesthetic drug. Anesthesiology (during submission)